

# PROCEDURALNE GENEROWANIE TREŚCI

## Zestaw 2

1. Zaimplementować algorytm generowania fraktala inwersji zbioru gwieżdzistego (Algorytm 1). W programie mamy mieć możliwość generowania fraktala, który dany jest przez okręgi oraz wielokąty gwieżdziste. Jako iterację wykorzystać iterację Manna.

---

**Algorytm 1:** Metoda generowania fraktala inwersji zbioru gwieżdzistego.

---

**Dane:**  $S_1, \dots, S_k$  – zbiory gwieżdziste z danymi środkami inwersji;  $c_1, \dots, c_k$  – kolory transformacji;  $p_0$  – punkt startowy leżący na zewnątrz  $S_1, \dots, S_k$ ;  $n > 20$  – liczba iteracji;  $P_v$  – iteracja z parametrami  $v$ ;  $W, H$  – rozdzielczość obrazu;  $\gamma \in \mathbb{R}_+$

**Wynik:** Obraz  $I$  z aproksymacją fraktala inwersji zbioru gwieżdzistego.

```
1 for  $(x, y) \in \{0, 1, \dots, W - 1\} \times \{0, 1, \dots, H - 1\}$  do
2    $I(x, y) =$  kolor czarny
3    $\mathcal{H}(x, y) = 0$ 
4    $c =$  losowy kolor
5    $j =$  liczba losowa z  $\{1, \dots, k\}$ 
6    $p = P_v(I_{S_j}, p_0)$ 
7   for  $i = 2$  to  $n$  do
8      $l =$  liczba losowa z  $\{1, \dots, k\}$ 
9     while  $j = l$  or  $inSet(S_l, p)$  do
10       $l =$  liczba losowa z  $\{1, \dots, k\}$ 
11       $j = l$ 
12       $p = P_v(I_{S_j}, p)$ 
13      if  $i > 20$  then
14         $x = \lfloor x_p \rfloor$ 
15         $y = \lfloor y_p \rfloor$ 
16         $\mathcal{H}(x, y) = \mathcal{H}(x, y) + 1$ 
17         $c = \frac{c+c_j}{2}$ 
18         $I(x, y) = c$ 
19  $m_{\mathcal{H}} = \max_{(x,y)} \mathcal{H}(x, y)$ 
20 for  $(x, y) \in \{0, 1, \dots, W - 1\} \times \{0, 1, \dots, H - 1\}$  do
21   if  $\mathcal{H}(x, y) > 0$  then
22      $I(x, y) = \left( \frac{\log_2(1+\mathcal{H}(x,y))}{\log_2(1+m_{\mathcal{H}})} \right)^{1/\gamma} I(x, y)$ 
```

---

Przy wyznaczaniu inwersji zbioru gwieżdzistego potrzebować będziemy znaleźć punkt przecięcia promienia z brzegiem zbioru gwieżdzistego. Załóżmy, że promień dany jest wzorem  $r(t) = o + t(p - o)$ , gdzie  $r \in [0, \infty)$ ,  $o$  – środek inwersji,  $p$  – punkt definiujący promień.

W przypadku okręgu o środku  $c$  i promieniu  $r$  wstawiając wzór na promień do równania okręgu otrzymujemy równanie:

$$\|p - o\|^2 t^2 + 2[(p - o) \cdot (o - c)]t + \|o - c\|^2 - r^2 = 0,$$

gdzie  $\cdot$  to iloczyn skalarny. Jest to równanie kwadratowe zmiennej  $t$ . Rozwiązując to równanie otrzymujemy: brak rozwiązań (brak przecięcia), jedno rozwiązanie (promień jest styczny do okręgu) lub dwa rozwiązania (ponieważ rozważamy promień, więc rozwiązaniem, które nas interesuje jest rozwiązanie dodatnie). Po znalezieniu rozwiązania  $t_*$  wstawiamy je do równania promienia  $r(t_*)$  otrzymując punkt przecięcia.

W przypadku wielokąta gwieżdzistego, aby znaleźć punkt przecięcia promienia z brzegiem tego wielokąta po prostu sprawdzamy przecięcie promienia z każdą z krawędzi wielokąta. Ponieważ wielokąt jest gwieżdzisty istnieje tylko jeden taki punkt, więc w momencie znalezienia punktu przecięcia nie musimy sprawdzać kolejnych krawędzi. Do sprawdzenia przecięcia promienia z krawędzią możemy wykorzystać Algorytm 2.

---

**Algorytm 2:** Algorytm znajdowania przecięcia promień–odcinek.

---

**Dane:**  $p_0, p_1$  – końce odcinka;  $o$  – początek promienia;  $p$  – punkt wyznaczający kierunek promienia.

**Wynik:** Punkt przecięcia promień–odcinek lub *null* jeśli brak przecięcia.

```

1  $d_r = p - o$ 
2  $d_s = p_1 - p_0$ 
3  $q = p_0 - o$ 
4  $d = d_{ry}d_{sx} - d_{rx}d_{sy}$ 
5 if  $|d| < 0.0001$  then
6   | return null
7  $t = \frac{1}{d}(d_{sx}a_y - d_{sy}a_x)$ 
8  $s = \frac{1}{d}(d_{rx}a_y - d_{ry}a_x)$ 
9 if  $t \geq 0 \wedge s \in [0, 1]$  then
10  | return  $o + td_r$ 
11 return null

```

---

Do pełnej implementacji Algorytmu 1 potrzebujemy jeszcze testu sprawdzającego czy dany punkt  $p$  należy do zbioru gwieżdzistego. W przypadku okręgu test możemy przeprowadzić stosując szkolną matematykę czyli odpowiedni warunek wynikający z równania okręgu. Dla wielokąta gwieżdzistego sytuacja jest nieco bardziej skomplikowana. W tym celu możemy skorzystać z Algorytmu 3.

Przykładowe zbiory gwieżdziste definiujące fraktale inwersji zbiorów gwieżdzistych znajdują się w archiwum *inv\_fractals.zip*. Plik ze zbiorami ma następującą strukturę. W pierwszej linii znajduje się pojedyncza liczba  $k$  oznaczająca liczbę zbiorów gwieżdzistych. W kolejnych  $k$  liniach mamy definicje tych zbiorów. Każda linia zaczyna się pojedynczą literą:  $C$  – okrąg,  $P$  – wielokąt. W przypadku okręgu kolejne dwie liczby to współrzędne środka inwersji, a następne trzy to współrzędne środka okręgu i jego promień.

---

**Algorytm 3:** Test czy podany punkt leży wewnątrz wielokąta gwieżdźdźistego.

---

**Dane:**  $v_0, v_1, \dots, v_n$  – wierzchołki wielokąta; *orient* – orientacja wierzchołków (*true* – przeciwnie do ruchu wskazówek zegara, *false* – zgodnie z ruchem wskazówek zegara);  $p$  – punkt, który testujemy.

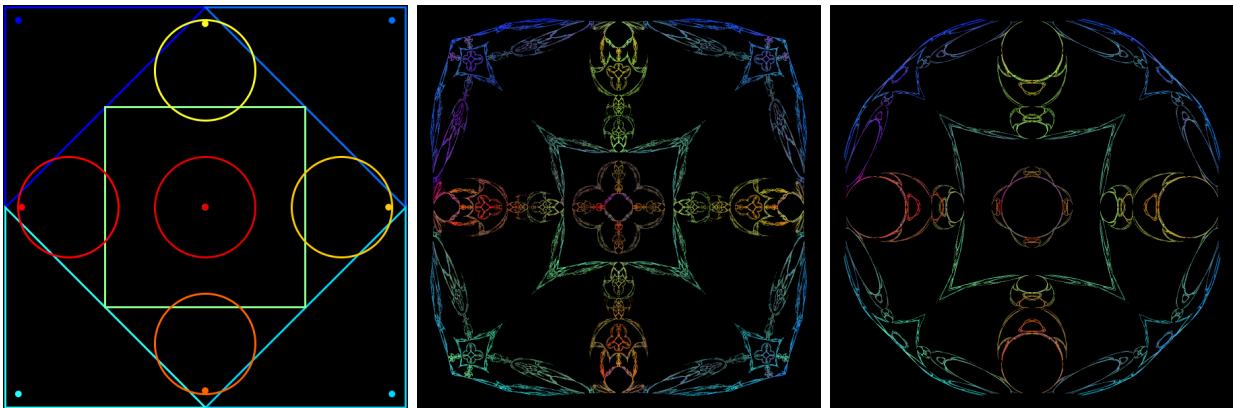
**Wynik:** *true* – punkt leży wewnątrz wielokąta; *false* – punkt leży na zewnątrz wielokąta.

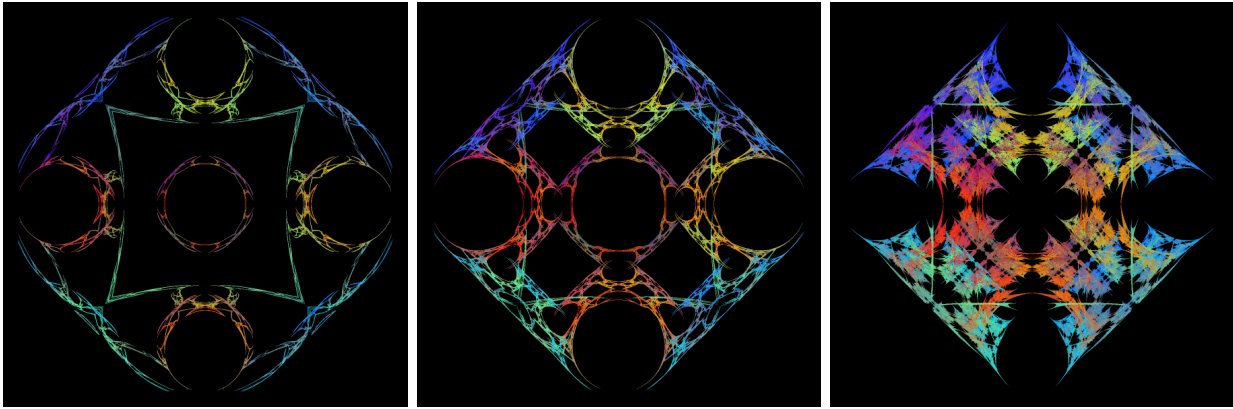
```
1 inside = false
2  $j = n$ 
3 for  $i = 0, 1, \dots, n$  do
4    $i_0 = (\textit{orient}) ? j : i$ 
5    $i_1 = (\textit{orient}) ? i : j$ 
6   if  $(v_{i_0y} \leq p_y \wedge p_y < v_{i_1y}) \vee (v_{i_1y} \leq p_y \wedge p_y < v_{i_0y})$  then
7      $x = v_{i_0x} + (p_y - v_{i_0y})(v_{i_1x} - v_{i_0x}) / (v_{i_1y} - v_{i_0y})$ 
8     if  $x > p_x$  then
9        $\textit{inside} = !\textit{inside}$ 
10   $j = i$ 
11 return inside
```

---

W przypadku wielokąta dwie pierwsze liczby to środek inwersji. Kolejna liczba to liczba wierzchołków wielokąta, po czym każda para liczb to współrzędne jednego wierzchołka wielokąta.

Przykład fraktala inwersji zbioru gwieżdźdźistego (*various\_03.sif*) dla różnych wartości parametru  $\alpha$  w iteracji Manna. Pierwszy obraz to zbiory gwieżdźdźiste, kolejne obrazy to fraktale dla  $\alpha$ : 1.0, 0.9, 0.8, 0.7, 0.6.





2. Zaimplementować algorytm wielomianografii z iteracjami (Algorytm 4). W programie mamy mieć możliwość wyboru metody znajdowania pierwiastków (co najmniej dwie metody, obie różne od metody Newtona), dowolnego wielomianu, rodzaju iteracji (co najmniej dwie iteracje, obie różne od iteracji Picarda) i testu zbieżności (co najmniej dwa różne testy zbieżności). Wartość wielomianu dla danego punktu należy obliczyć za pomocą schematu Hornera.

Przykładowe metody znajdowania pierwiastków, które można wykorzystać, można znaleźć np. tutaj

- Sekcja 5 „Newton Fraktale” <http://www.3d-meier.de/tut20/Seite1.html>
- Gościński, I., Gdawiec, K.: PSO-based Newton-like Method and Iteration Processes in the Generation of Artistic Patterns. Lecture Notes in Computer Science, vol. 11241, pp. 47-56, (2018) [wersja PDF](#)
- Gdawiec, K., Kotarski, W., Lisowska, A.: On the Robust Newton’s Method with the Mann Iteration and the Artistic Patterns from Its Dynamics. Nonlinear Dynamics 104(1), 297-331, (2021) [wersja PDF](#)

Przegląd 17 różnych iteracji, które można wykorzystać, można znaleźć tutaj:

- Gdawiec, K., Kotarski, W.: Polynomiography for the Polynomial Infinity Norm via Kalantari’s Formula and Nonstandard Iterations. Applied Mathematics and Computation 307, 17-30, (2017) [wersja PDF](#)

---

#### Algorytm 4: Renderowanie wielomianografu.

---

**Dane:**  $p \in \mathbb{C}[Z]$ ,  $\deg p \geq 2$  – wielomian;  $A \subset \mathbb{C}$  – obszar;  $M$  – liczba iteracji;  $I_v : \mathbb{C} \rightarrow \mathbb{C}$  – iteracja z parametrami  $v$ ;  $C_u : \mathbb{C} \times \mathbb{C} \rightarrow \{true, false\}$  – test zbieżności;  $colours[0..k]$  – mapa kolorów.

**Wynik:** Wielomianograf w obszarze  $A$ .

```

1 for  $z_0 \in A$  do
2    $[n, z] = \text{ITERATEPOINT}(z_0, p, I_v, C_u, M)$ 
3   Pokoloruj  $z_0$  używając  $n, z$  i mapy kolorów  $colours$ 

```

---

---

**Algorytm 5:** ITERATEPOINT

---

**Dane:**  $z_0 \in \mathbb{C}$  – punkt;  $p \in \mathbb{C}[Z]$ ,  $\deg p \geq 2$  – wielomian;  $I_v : \mathbb{C} \rightarrow \mathbb{C}$  – iteracja z parametrami  $v$ ;  $C_u : \mathbb{C} \times \mathbb{C} \rightarrow \{true, false\}$  – test zbieżności;  $M$  – liczba iteracji.

**Wynik:** Numer iteracji i ostatni obliczony punkt.

```
1 ITERATEPOINT( $z_0, p, I_v, C_u, M$ )
2    $n = 0$ 
3   while  $n < M$  do
4      $z_{n+1} = I_v(z_n)$ 
5     if  $C_u(z_n, z_{n+1}) = true$  then
6       break
7      $n = n + 1$ 
8   return  $[n, z_{n+1}]$ 
```

---

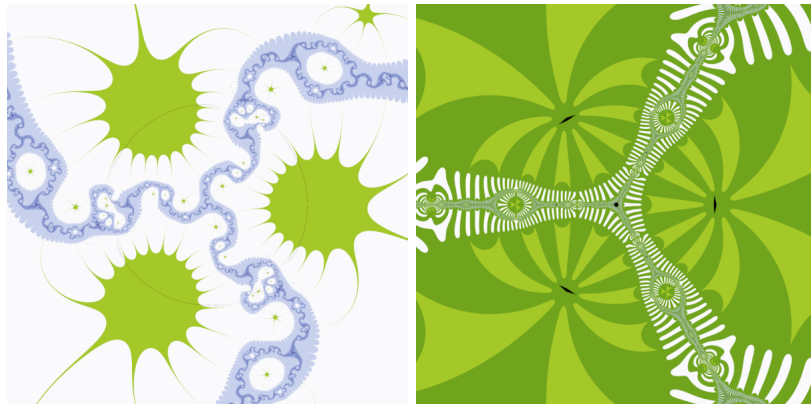
*Przykład 1:* wielomianografy dla metody Halleya,  $p(z) = z^3 - 1$ ,  $A = [-2, 2]^2$ ,  $M = 30$ ,  $\varepsilon = 0.001$ , mapy kolorów z pliku *0408\_093-s.map* oraz iteracji Picard-S z parametrami:

- $\alpha = 0.5 + 1.5i$ ,  $\beta = 0.8$  i testem zbieżności

$$||z_{n+1}|^2 - |z_n|^2| < \varepsilon,$$

- $\alpha = 0.1$ ,  $\beta = 0.9$  i testem zbieżności

$$|0.01(z_{n+1} - z_n)| + |0.029|z_{n+1}|^2 - 0.03|z_n|^2| < \varepsilon.$$



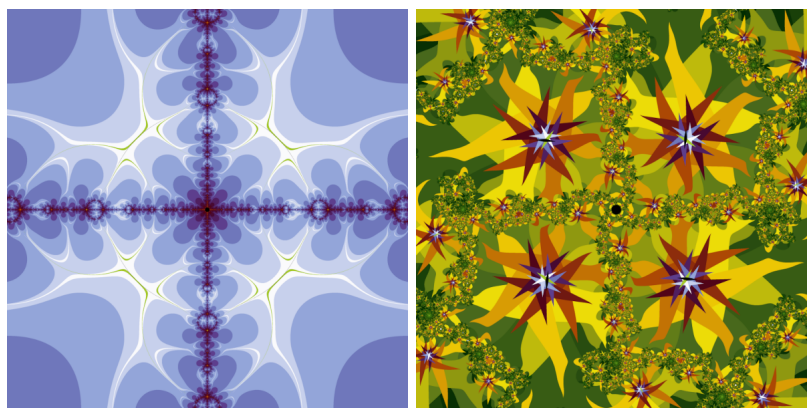
*Przykład 2:* wielomianografy dla metody Halleya,  $p(z) = z^4 + 1$ ,  $A = [-2, 2]^2$ ,  $M = 30$ ,  $\varepsilon = 0.001$ , mapy kolorów z pliku *0408\_093-s.map* oraz iteracji Ishikawy z parametrami:

- $\alpha = 0.9$ ,  $\beta = 0.1$  i testem zbieżności

$$||z_{n+1}|^2 - |z_n|^2| < \varepsilon,$$

- $\alpha = 0.6 - 0.75i$ ,  $\beta = 0.8$  i testem zbieżności

$$|0.01(z_{n+1} - z_n)| + |0.029|z_{n+1}|^2 - 0.03|z_n|^2| < \varepsilon.$$



3. Zaimplementować wielomianografię wielokrokową (Algorytm 6).

---

**Algorytm 6:** Renderowanie wielomianografu wielokrokowego.

---

**Dane:**  $A \subset \mathbb{C}$  – obszar;  $\{p_1, p_2, \dots, p_N\}$  – wielomiany;  $\{I_{v_1}, I_{v_2}, \dots, I_{v_N}\}$  – iteracje;  
 $\{M_1, M_2, \dots, M_N\}$  – liczby iteracji dla poszczególnych kroków;  
 $\{C_{u_1}, C_{u_2}, \dots, C_{u_N}\}$  – testy zbieżności dla poszczególnych kroków;  
 $\{f_1, f_2, \dots, f_N\}$  – transformacje obszaru dla poszczególnych kroków;  
 $colours[0..k]$  – mapa kolorów.

**Wynik:** Wielomianograf wielokrokowy dla obszaru  $A$ .

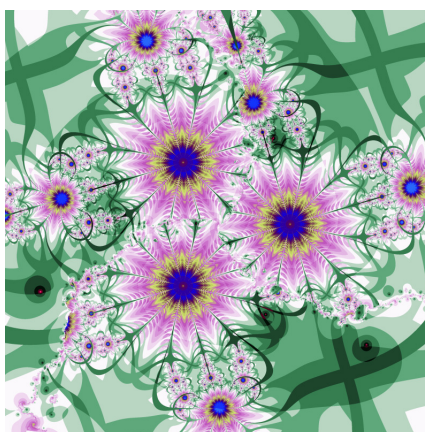
```

1 for  $z_0 \in A$  do
2    $m = 0$ 
3    $z = z_0$ 
4   for  $i = 1, 2, \dots, N$  do
5      $[n, u] = \text{ITERATEPOINT}(z, p_i, I_{v_i}, C_{u_i}, M_i)$ 
6      $m = m + n$ 
7      $z = f_i(u - z)$ 
8   Wyznacz kolor dla  $z_0$  używając  $m$  i mapy kolorów  $colours$ 

```

---

Wielomianograf wielokrokowy:



został wygenerowany w obszarze  $[-3, 3]^2$  używając mapy kolorów *jutemap.map*,  $\varepsilon = 0.001$  oraz następujących parametrów:

- pierwszy krok: metoda Helleya,  $p_1(z) = z^3 - 1$ ,  $M_1 = 20$ , iteracja Noora z  $\alpha = 0.8 - 0.4i$ ,  $\beta = 0.2$ ,  $\gamma = 0.9 - 0.5i$ ,  $f_1(z) = z/(0.75 + 2.5i)$  i testu zbieżności:

$$|z_{n+1} - z_n| < \varepsilon,$$

- drugi krok: metoda Newtona,  $p_2(z) = z^4 + 1$ ,  $M_2 = 20$ , iteracja Ishikawy z  $\alpha = 0.7$ ,  $\beta = 0.7$ ,  $f_2(z) = z/(0.75 + 2.5i)$  i testu zbieżności:

$$|0.04\Re(z_{n+1} - z_n)| < \varepsilon \vee |0.05\Im(z_{n+1} - z_n)| < \varepsilon,$$

gdzie  $\Re(z)$ ,  $\Im(z)$  oznaczają odpowiednio część rzeczywistą i urojoną liczby  $z$ .